

АНИЗОТРОПИЯ ВЕРХНЕГО КРИТИЧЕСКОГО ПОЛЯ СВЕРХПРОВОДЯЩИХ МОНОКРИСТАЛЛИЧЕСКИХ ПЛЕНОК $\text{YBa}_2\text{Cu}_3\text{O}_x$ И $\text{HoBa}_2\text{Cu}_3\text{O}_x$

А.И. Головашкин, С.И. Красносвободцев, Е.В. Печень, Н.П. Шабанова

Измерены температурные зависимости $H_{c2}(T)$ сверхпроводящих пленок $\text{M}\text{Ba}_2\text{Cu}_3\text{O}_x$ ($M = \text{Y}, \text{Ho}$). Для монокристаллических пленок $dH_{c2}/dT \approx 8 \text{ T/K}$ при перпендикулярной и 1.4 T/K при параллельной оси \vec{c} ориентациях магнитного поля, длины когерентности $\xi_c(0) \approx 3 \text{ \AA}$ и $\xi_{ab} \approx 16 \text{ \AA}$, $H_{c2}(0) \approx 520$ и 95 T соответственно.

Исследование температурных зависимостей критических магнитных полей $H_{c2}(T)$ позволяет получить оценку значений длины когерентности Гинзбурга – Ландау $\xi(0)$ для высокотемпературных металлооксидных сверхпроводников. В работе /1/ для монокристалла $\text{YBa}_2\text{Cu}_3\text{O}_x$ получены значения $\xi_{ab}(0) = 34 \text{ \AA}$ в плоскости a, b и $\xi_c(0) = 7 \text{ \AA}$ вдоль оси c . Поскольку $\xi_c(0)$ больше расстояния $d = 3.9 \text{ \AA}$ между слоями $\text{Cu}-\text{O}$, в работе сделан вывод о трехмерной природе сверхпроводимости в этом материале. К выводу о ее двумерном характере приходят авторы работы /2/ на основании исследований, выполненных на анизотропных поликристаллических пленках. Однако при этом используется проблематичная методика обработки эксперимента по началу резистивного сверхпроводящего перехода. Представляет интерес определение $\xi(T)$ и других параметров высокотемпературной сверхпроводящей (ВТСП) фазы в образцах с более совершенной структурой. В настоящей работе выполнены сравнительные исследования температурных зависимостей критических магнитных полей поликристаллических и монокристаллических пленок $\text{YBa}_2\text{Cu}_3\text{O}_x$ и $\text{HoBa}_2\text{Cu}_3\text{O}_x$.

Пленки ВТСП получены на подложках SrTiO_3 методом импульсного лазерного распыления /3/. Структура пленок определялась режимами осаждения и кристаллографической ориентацией подложек. Ниже приводятся данные для образца $\text{YBa}_2\text{Cu}_3\text{O}_x$ 67, имеющего изотропную поликристаллическую структуру, а также для образцов $\text{YBa}_2\text{Cu}_3\text{O}_x$ 127 и $\text{HoBa}_2\text{Cu}_3\text{O}_x$ 207, структура которых монокристаллическая с двойникованием перестановки в плоскости (001), причем ось c ориентирована перпендикулярно плоскости подложки. Зависимости сопротивления R образцов от магнитного поля H регистрировались при фиксированной температуре T . Стабильность T не хуже 0.01 K (при абсолютной погрешности $< 0.1 \text{ K}$) обеспечивалась

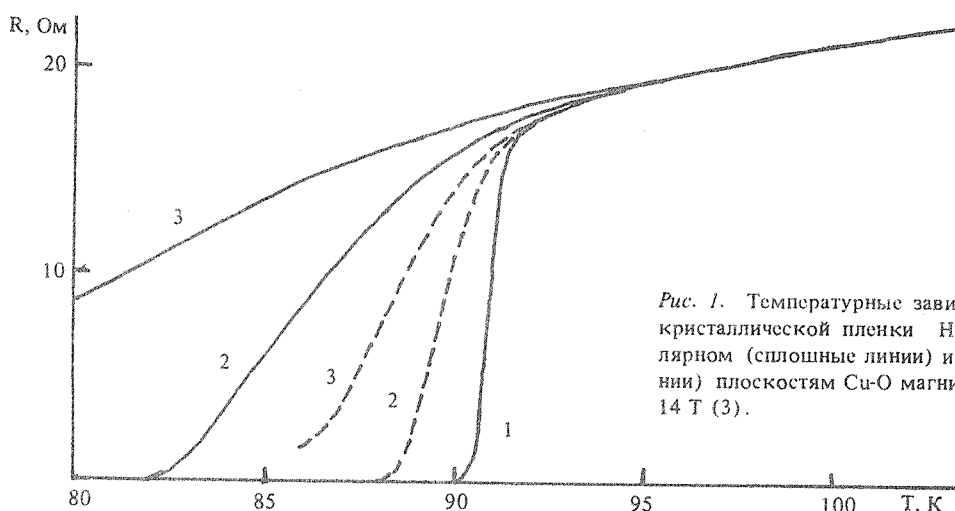


Рис. 1. Температурные зависимости сопротивления монокристаллической пленки $\text{HoBa}_2\text{Cu}_3\text{O}_x$ 207 в перпендикулярном (сплошные линии) и параллельном (штриховые линии) плоскостям $\text{Cu}-\text{O}$ магнитном поле: $H=0$ (1), 5 T (2), 14 T (3).

терморегулятором с емкостным термодатчиком. Данные для всех образцов получены в двух ориентациях магнитного поля: перпендикулярной (H_{\perp}) и параллельной (H_{\parallel}) плоскости пленки. За начало, середину (T_c) и конец сверхпроводящего перехода приняты значения температуры, при которых R составляет соответственно 0,9, 0,5, и 0,1 R_n , где R_n – сопротивление, определенное экстраполяцией линейной зависимости $R(T)$ в нормальном состоянии.

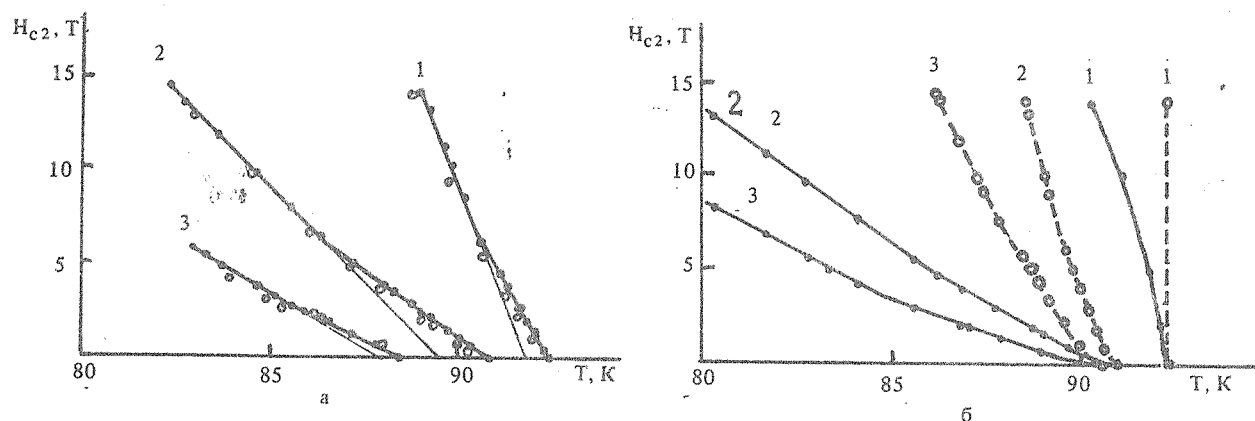


Рис. 2. Температурные зависимости критических магнитных полей поликристаллической пленки $\text{YBa}_2\text{Cu}_3\text{O}_{x-67}$ (а) и $\text{HoBa}_2\text{Cu}_3\text{O}_{x-207}$ (б) при ориентациях поля параллельно (светлые кружки) и перпендикулярно (темные кружки) плоскости пленки. Кривые построены по началу (1), середине (2) и концу (3) перехода.

Типичные зависимости $R(T)$ в полях различной ориентации показаны на примере монокристаллической пленки $\text{HoBa}_2\text{Cu}_3\text{O}_{x-207}$ на рис. 1. Увеличение магнитного поля приводило к уширению перехода при малом изменении температуры начала перехода и существенно более сильном влиянии поля, направленного вдоль оси c , по сравнению с перпендикулярной его ориентацией. На рис. 2 приведены $H_{c2}(T)$ для поликристаллической и монокристаллической пленок, построенные по началу, середине и концу сверхпроводящего перехода. Вблизи T_c наблюдался близкий к линейному участок $H_{c2}(T)$, сменяющийся более резким линейным ростом H_{c2} при понижении T . Такое поведение может быть связано с существованием в монокристалле двух фаз с очень близкими структурными параметрами /4/ или с особенностями поверхности Ферми /1/. Для поликристаллической пленки анизотропия H_{c2} практически не проявлялась, а в случаях монокристаллических пленок отношение $H_{c2\parallel}/H_{c2\perp}$ (по серединам переходов) для $\text{YBa}_2\text{Cu}_3\text{O}_{x-127}$ равно 5,3, для $\text{HoBa}_2\text{Cu}_3\text{O}_{x-207} = 5,6$. Об отсутствии вклада в анизотропию H_{c2} эффектов, связанных с поверхностной сверхпроводимостью, свидетельствует идентичность критических полей поликристаллической пленки в H_{\perp} и H_{\parallel} . В связи с двойникением анизотропия в плоскости а, б не учитывалась. В табл. 1 приведены значения удельного сопротивления вблизи начала перехода ρ_n , а также $-dH_{c2}/dT \equiv H'_{c2}, \xi(0)$ и $H_{c2}(0)$, полученные по серединам перехода. Параметры оценивались из следующих соотношений: $\xi_{ab}(0) = 1,81 \cdot 10^{-4} (T_c H'_{c2})^{-1/2}$, $\xi_c(0) = \xi_{ab}(0) H'_{c2\perp}/H'_{c2\parallel} / 1$, $H_{c2}(0) = 0,74 \cdot H'_{c2} T_c$. Из зависимостей, построенных по началу перехода (рис. 2б, кривая 1), для $\text{HoBa}_2\text{Cu}_3\text{O}_{x-207}$ найдено: $H'_{c2\perp} = 6 \pm 0,3$ Т/К, $H'_{c2\parallel} > 50 \pm 10$ Т/К, $\xi_{ab}(0) \cong \cong 8$ Å, $\xi_c(0) < 1$ Å. В работе /2/ из зависимостей $H_{c2}(T)$, построенных по началу перехода в сверхпроводящее состояние, получено $\xi_c(0) \cong 2$ Å. Таким образом, в монокристаллических пленках, обладающих более высокими T_c и низкими ρ_n , наблюдались более высокие значения $H_{c2\parallel}$ и значительно меньшие $\xi_c(0)$. Это свидетельствует в пользу того, что уширение переходов в магнитном поле происходит вследствие неидеальности структуры образцов. При этом конец перехода соответствует наиболее ослабленным (дефектным) областям в объеме образца, а высокие значения $H_{c2\parallel}$ и малые $\xi_c(T)$ (удовлетворяется условие квазидвумерности $\xi_c(0) < d/\sqrt{2}$), соответствующие верхней (рис. 1) части перехода, характеризуют свойства наиболее совершенной сверхпроводящей фазы.

Таблица 1

*Критические параметры и длина когерентности Гинзбурга –
Ландау пленок ВТСП*

Образец	T _c , K	ρ _n , мкОм·см	H' _{c2} ⊥, T/K	H' _{c2} , T/K	H _{c2} ⊥(0), T	H _{c2} (0), T	ξ _{ab} (0), Å	ξ _c (0), Å
YBa ₂ Cu ₃ O _x -67 (поликрист.)	90,8	—	2,0 ± 0,1	2,0 ± 0,1	130	130	—	—
YBa ₂ Cu ₃ O _x -127 (моноокрист.)	90,3	200	1,4 ± 0,1	7,5 ± 0,3	90	490	16	3
HoBa ₂ Cu ₃ O _x -207 (моноокрист.)	90,9	60	1,4 ± 0,1	8,0 ± 0,3	95	520	16	3

Малые значения длин когерентности при низком ρ_n, отсутствии заметного остаточного сопротивления монокристаллических пленок ($R(0) \approx 0$), сохранении линейной зависимости $R(T)$ вплоть до 600 К указывают на вероятную реализацию случая "чистого" сверхпроводника для исследованных материалов. Тогда из соотношения $\xi_{ab}(0) = 0,74\hbar v_{Fab}/1,76\pi kT_c$ следует оценка для скорости Ферми $v_{Fab} \approx 1 \cdot 10^7$ см/с.

Таким образом, полученные результаты свидетельствуют в пользу существования квазидвумерной сверхпроводимости в слоистых перовскитных высокотемпературных сверхпроводниках. Монокристаллические пленки Y(Ho)Ba₂Cu₃O_x имеют более высокие H_{c2}||(0) и H'_{c2}|| по сравнению с образцами, имеющими менее совершенную структуру.

Авторы выражают благодарность В.Г. Веселаго, Л.П. Максимову и В.Е. Махоткину за помощь в осуществлении эксперимента.

ЛИТЕРАТУРА

1. Worthington T. K., Gallaher W. J., Dinger T. P. Phys. Rev. Lett., 59, 1160 (1987).
2. Oh B. et al. Preprint. Stanford University and M.I.T., 1988.
3. Головашкин А. И. и др. Письма в ЖЭТФ, 47, 157 (1988).
4. Taylor K.N.R. et al. Journ. Cryst. Growth, 85, 656 (1987).

Поступила в редакцию 18 июля 1988 г.